

# 猪圆环病毒 2 型 ORF2 基因的原核表达

敬晓棋<sup>1,2</sup>, 吴发兴<sup>1,3</sup>, 丛丽媛<sup>1</sup>, 张佩君<sup>4</sup>, 陈德坤<sup>1</sup>

(1 西北农林科技大学 动物医学院,陕西 杨凌 712100;2 榆林学院 生命科学研究中心,陕西 榆林 719000;

3 中国动物卫生与流行病学中心 动物流行病学监测室,山东 青岛 266032;4 陕西省教育学院 生物系,陕西 西安 710061)

**[摘要]** 【目的】构建猪圆环病毒 2 型(PCV2)ORF2 原核表达质粒载体,高效重组表达 PCV2 壳蛋白 Cap,为进一步建立 PCV2 ELISA 的检测方法及 Cap 蛋白单克隆抗体的制备研究奠定基础。【方法】根据猪圆环病毒 2 型 ORF2 基因序列设计带有 *BamH I*、*Hind III* 酶切位点的引物,进行 ORF2 的 PCR 体外扩增。用扩增的 ORF2 基因构建 pMD18-T-ORF2 质粒,经测序检测正确后,与 pET-32a(+)连接获得原核表达重组质粒 pET-32a-ORF2。重组质粒 pET-32a-ORF2 转化 BL21-ΔE3 后用 IPTG 诱导表达,对获得的纯化表达产物进行了 SDS-PAGE 电泳、Western blot 检测。【结果】PCR 扩增得到了预期 580 bp 的目的基因,连接载体后经测序完全正确;pET-32a-ORF2 在 BL21-ΔE3 得到高效表达,获得以包涵体形式存在的体外重组原核表达 PCV2 Cap 蛋白;Western blot 检测结果表明,所得到的蛋白能够识别 PCV2 多克隆抗体。【结论】重组质粒 pET-32a-ORF2 在 BL21-ΔE3 高效表达重组 PCV2 Cap 蛋白,且具有免疫学生物活性。

**[关键词]** 猪圆环病毒 2 型;ORF2;原核表达

**[中图分类号]** S852.65<sup>+</sup>9.2

**[文献标识码]** A

**[文章编号]** 1671-9387(2010)05-0008-05

## Prokaryotic expression of ORF2 gene of porcine circovirus type 2 in *E. coli* system

JING Xiao-qi<sup>1,2</sup>, WU Fa-xing<sup>1,3</sup>, CONG Li-yuan<sup>1</sup>, ZHANG Pei-jun<sup>4</sup>, CHEN De-kun<sup>1</sup>

(1 College of Veterinary Medicine, Northwest A&F University, Yangling, Shaanxi 712100, China;

2 Life Science Research Center, Yulin University, Yulin, Shaanxi 719000, China; 3 Laboratory of Animal Epidemiological Surveillance, China Animal Health and Epidemiology Center, Qingdao, Shandong, 266032, China;

4 Biology Department, Shaanxi Education College, Xi'an, Shaanxi 710061, China)

**Abstract:** 【Objective】In order to study monoclonal antibody of porcine circovirus type 2(PCV2) Cap protein and establish the ELISA detection method for PCV2, a prokaryotic expression vector of PCV2 ORF2 was reconstructed, which can express Cap protein highly efficiently.【Method】To amplify the PCV2 ORF2 *in vitro*, a pair of primers with *BamH I* and *Hind III* endonuclease sites were designed by primer premier 5. The amplified ORF2 was cloned into pET-32a (+) when plasmid pMD18-T-ORF2 was reconstructed after the amplified ORF2 was confirmed right by sequencing. The reconstructed pET-32a-ORF2 was transformed into BL21-ΔE3 and the fusion proteins were expressed when it was induced by 1 mmol/L IPTG. The expression products of reconstructed pET-32a-ORF2 SDS-PAGE underwent electrophoresis and Western blot detection.【Result】A 580 bp fragment as expected was acquired by PCR amplification and confirmed right by sequencing. The expression products of reconstructed pET-32a-ORF2 is a fusion protein and can bind with polyclonal antibody of ORF2 by SDS-PAGE electrophoresis and Western blot detection.

\* [收稿日期] 2009-11-02

[基金项目] 陕西省科技攻关项目(2008K02-05-2)

[作者简介] 敬晓棋(1977—),男,陕西凤翔人,在读博士,主要从事动物传染病与分子免疫学研究。E-mail:jingxiaoqi@126.com

[通信作者] 陈德坤(1964—),男,陕西渭南人,教授,博士生导师,主要从事动物传染病与分子免疫学研究。

E-mail:Chendekun163@163.com

**【Conclusion】**The high expression proteins of the reconstructed pET-32a-ORF2 in BL21-ΔE3 have a good immunoreactivity.

**Key words:** porcine circovirus type 2; ORF2; procaryotic expression

猪圆环病毒2型(porcine circovirus type 2, PCV2)是断奶仔猪多系统衰竭综合征(postweaning multisystemic wasting syndrome, PMWS)的病原,最早于1991年在加拿大被发现<sup>[1]</sup>。该病不但可引起断奶仔猪发生衰竭、死亡,还与仔猪A2型先天性震颤(Congenital tremors, CT)、成年猪皮炎肾炎综合征(porcine dermatitis and nephropathy syndrome, PDNS)和呼吸道疾病综合征(porcine respiratory diseases syndrome, PRDS)有关<sup>[2-4]</sup>。更为严重的是,PCV2感染所引起的猪免疫抑制会直接导致其他传染病免疫的失败,并引起其他病原的继发感染,造成的间接损失难以估算<sup>[5]</sup>。目前,PCV2已经成为严重阻碍养猪业发展的主要病原之一。PCV2防治的关键是建立实用的PCV2免疫检测技术,因而表达并纯化出PCV2特异性抗原具有重要意义。

PCV2全基因组长度为1 767 bp或1 768 bp,共包括ORF1和ORF2在内的11个阅读框。ORF1为945 bp,编码由315个氨基酸构成的病毒复制蛋白<sup>[6-7]</sup>,ORF2为702 bp,编码由234个氨基酸构成的壳蛋白Cap。Cap蛋白是PCV2的主要结构蛋白,具有较好的免疫原性<sup>[8-9]</sup>。ORF2的氨基末端区域12~18和34~41位氨基酸对核定位起重要作用<sup>[10]</sup>,69~83和117~131位氨基酸所形成的B细胞表位为PCV2所特有<sup>[11]</sup>,因而Cap蛋白成为用于建立PCV2免疫检测技术的依据所在。Liu等<sup>[12]</sup>将ORF2重组质粒pMAL-His8在E. coli“XL1-Blue MRF”系统中成功表达。此外,PCV2 ORF2的真核表达体系,如杆状病毒表达体系<sup>[13-14]</sup>、腺病毒表达体系<sup>[15]</sup>等也已相继建立,但Cap蛋白的真核表达体系成本较高,不适于其规模化生产和纯化。

ORF2基因的1~123 bp中富含稀有密码子,是与核定位有关的信号肽序列(NSL),在常规原核表达系统中表达效果较差。因此,本研究在对ORF2进行PCR扩增时,仅扩增了该段序列后580 bp的ORF2片段,然后将扩增片段克隆入pET-32a(+)表达载体,在BL21-ΔE3中用IPTG进行诱导表达,并对表达产物进行SDS-PAGE、Western blot检测,以期为PCV2 Cap蛋白单克隆抗体的制备及

间接ELISA方法的建立奠定基础。

## 1 材料与方法

### 1.1 材料

PCV2分离株和PCV2多克隆抗体,均由西北农林科技大学动物医学院免疫实验室(以下简称本室)制备并保存。pET-32a(+)载体系统及受体菌DH5 $\alpha$ 购自Invitrogen。pMD18-T载体、BamH I、Hind III、T4 DNA连接酶、DNA提取试剂盒、PCR试剂盒、质粒提取试剂盒、DNA胶回收试剂盒、DL2000 Marker及蛋白Marker,均购自TaKaRa。IPTG、Amp购自普博生物技术有限公司。Ni-NTA蛋白纯化试剂盒购自QIAGEN,蛋白复性试剂盒protein refolding kit购自Novagen。

### 1.2 引物的设计与合成

参考GenBank中收录的多株PCV2 ORF2基因序列,用Primer primer 5.0设计引物,预期扩增片段大小为580 bp,并分别在引物上下游引入BamH I、Hind III酶切位点。引物均由上海博亚生物技术有限公司合成。引物序列如下。

P1: 5'-CGCGGATCCCTACATTCCAGCAG-TT-3';

P2: 5'-GGGTTCGAAATGACGTATCCAAG-GAG-3'。

### 1.3 方法

1.3.1 ORF2基因的获得 取-70℃保存的PCV2分离株,接种于已长满单层的PK-15细胞,培养48~72 h收获全部培养物,用DNA提取试剂盒提取总DNA用于PCR扩增。建立50 μL扩增体系:Premix Taq 25 μL,引物混合物2 μL,dNTP 1 μL,模板DNA 1 μL,ddH<sub>2</sub>O 21 μL。按如下程序扩增:94℃预变性2 min;94℃1 min,53℃1 min,72℃1.5 min,共35个循环;最后72℃延伸10 min。PCR产物电泳检测后,用PCR产物回收试剂盒(TaKaRa公司)割胶回收目的片段。

1.3.2 ORF2基因的克隆鉴定 按照pMD18-T载体说明书,将回收的目的片段与pMD18-T载体于16℃连接,并转化DH5 $\alpha$ 感受态细胞,涂板挑选白斑,接种于含50 μg/mL Amp+的LB液体培养基中培养后,取菌液提取质粒,用BamH I和Hind III

进行酶切鉴定。将鉴定正确的重组质粒 pMD18-T-ORF2 送上海博亚生物技术有限公司测序鉴定。

**1.3.3 ORF2 基因原核表达载体的构建与鉴定** 按常规方法取 pMD18-T-ORF2 质粒与 pET-32a (+), 用 *BamH I* 和 *Hind III* 进行双酶切, 经凝胶回收目的片段, 用 T4 DNA 连接酶进行连接。连接产物转化 BL21-ΔE3 感受态细胞, 提取质粒进行 PCR 及双酶切鉴定, 将鉴定正确的重组质粒命名为 pET-32a-ORF2, 并送上海博亚生物技术有限公司进行序列测定, 以确定其读码框架的正确性。

**1.3.4 重组质粒 pET-32a-ORF2 的诱导表达** 将重组质粒 pET-32a-ORF2 转化大肠杆菌 BL21-ΔE3, 涂 Amp+ 平板, 置 37 °C 培养 48 h。挑单菌落接种于 5.0 mL Amp+ 的 LB 液体培养基内, 37 °C 振荡培养, 经 1 mmol/L 的 IPTG 诱导表达, 分别于 1, 2, 3, 4 和 5 h 离心收集菌体, 按每 g 大肠杆菌(湿质量)加 3 mL 裂解缓冲液裂解菌体。裂解物于 4 °C、12 000 r/min 离心 5 min, 弃上清, 获得 pET-32a-ORF2 蛋白表达包涵体沉淀。100 μL 纯水重悬沉淀, 按陈美玲等<sup>[16]</sup>的方法进行 SDS-PAGE 检测。

**1.3.5 pET-32a-ORF2 表达蛋白的纯化与复性** 按 QIAGEN 公司的 Ni-NTA 蛋白纯化试剂盒说明, 对 pET-32a-ORF2 表达蛋白进行纯化。具体方法为: 将 Denature Bufer B (pH 8.0) 悬浮的重组蛋白加入经 Denature Bufer B 平衡的 His · Bind 树脂柱, 用 Denature Bufer C (pH 6.3) 洗涤 2 次、Denature Bufer D (pH 4.5) 洗涤 3 次, 然后用 Buffer E

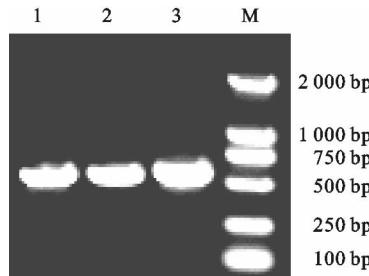


图 1 PCV2 ORF2 基因 PCR 扩增产物电泳图

1~3. PCR 产物; M. DL2000

Fig. 1 PCR products electrophoresis of PCV2 ORF2  
1~3. PCR products of PCV2 ORF2; M. DL2000

### 2.3 重组质粒 pET-32a-ORF2 的鉴定

PCV2 ORF2 的重组质粒 pET-32a-ORF2 用 *BamH I* / *Hind III* 双酶切, 可获得约 580 bp 的片段 (图 3), 经上海博亚生物技术有限公司测序, 结果显示 pET-32a-ORF2 序列完整且读码框架完全正确。

洗脱目的蛋白, 经 PBS 透析去除尿素, 4 °C、12 000 r/min 离心 5 min, 收集沉淀。沉淀用蛋白复性试剂盒 protein refolding kit (Novagen 公司) 复性后, 于 4 °C 用添加 0.1 mmol/L DTT 的 50×Tris · HCl (1 mol/L Tris · Cl, pH 8.0) 透析 6 h, 无 DTT 的 50×Tris · HCl 透析 2 次。透析产物 4 °C、2 000 r/min 离心 5 min, 取上清分装, -20 °C 保存备用。

**1.3.6 重组蛋白 pET-32a-ORF2 的检测** 纯化的重组蛋白经 12 g/L SDS-PAGE 电泳后, 用电转印法转印 NC 膜, 再进行 Western blot 免疫印迹检测。一半 NC 膜用于丽春红染色, 一半 NC 膜经 TBST 洗脱后转移至 BSA 中封闭, 洗膜后加入 1 : 50 稀释的 PCV2 多克隆抗体, 室温下振荡 1.5~2 h, 洗涤后加入 1 : 20 000 稀释的 HRP-兔抗猪 IgG, 室温振荡 1.5~2 h, 洗涤, 置于 DAB 底物显色液中显色, 条带清晰后迅速用蒸馏水终止显色反应。

## 2 结果与分析

### 2.1 ORF2 基因的 PCR 扩增结果

ORF2 基因 PCR 扩增产物电泳后, 获得 580 bp 的特异条带 (图 1), 与预期扩增片段大小一致。

### 2.2 重组质粒 pMD18-T-ORF2 的酶切鉴定

提取转化 DH5α 的重组菌质粒, 用 *BamH I* / *Hind III* 进行双酶切, 电泳出现约 580 bp 的条带 (图 2), 与预期结果一致。产物经上海博亚生物技术有限公司测序鉴定, 与 ORF2 基因序列完全一致。

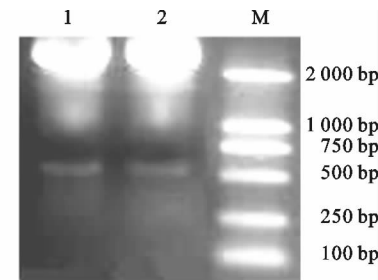


图 2 重组质粒 pMD18-T-ORF2 的双酶切鉴定

1,2. 双酶切 pMD18-T-ORF2; M. DL2000

Fig. 2 *BamH I* / *Hind III* digestion identification of pMD18-T-ORF2  
1,2. pMD18-T-ORF2 digested with *BamH I* / *Hind III*; M. DL2000

### 2.4 重组质粒 pET-32a-ORF2 的诱导表达

pET-32a-ORF2 转化的大肠杆菌 BL21-ΔE3 裂解物, 用 12 g/L 聚丙烯酰胺凝胶对诱导前和不同诱导时间的样品进行 SDS-PAGE 分析发现, pET-32a-ORF2 在诱导后出现 1 条约 44.3 ku 的蛋白条带。

(图4),诱导5 h时的蛋白量相对较高,经检测约可

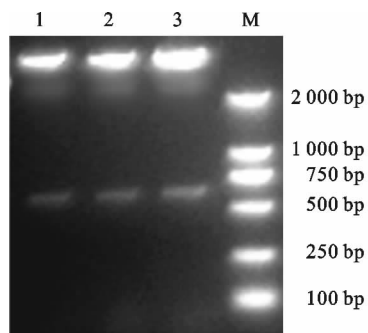


图3 重组质粒 pET-32a-ORF2 的双酶切鉴定

1~3. *Bam*H I / *Hind* III 双酶切

pET-32a-ORF2; M, DL2000

Fig. 3 Digestion identification of the pET-32a-ORF2 with *Bam*H I / *Hind* III

1~3. pET-32a-ORF2 digested with  
*Bam*H I / *Hind* III; M, DL2000

## 2.5 pET-32a-ORF2 表达产物的纯化

表达正确的 pET-32a-ORF2 产物用 His · Band 树脂纯化后, SDS-PAGE 检测显示, IPTG 诱导后 5 h, 产物的表达量最高(图5)。

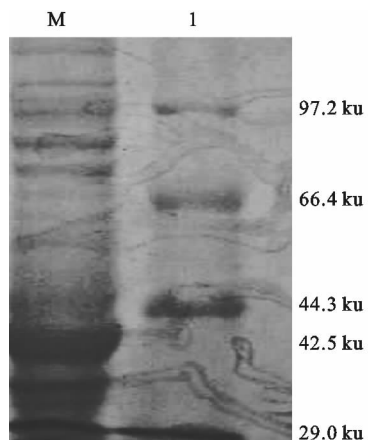


图5 重组蛋白 pET-32a-ORF2 的纯化

1. 纯化的 pET-32a-ORF2 蛋白; M. 蛋白 Marker

Fig. 5 Purification of the pET-32a-ORF2 recombinant protein

1. Purified pET-32a-ORF2 protein;  
M. Molecular weight protein Marker

## 3 讨 论

由于 ORF2 基因的 1~123 bp 中富含稀有密码子, 在常规原核表达系统中表达效果较差。Trun-

达菌体总蛋白的 30%。

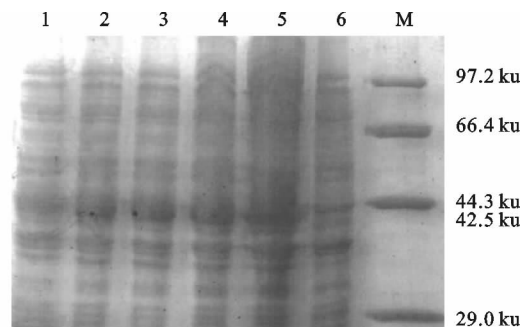


图4 pET-32a-ORF2 表达产物的 SDS-PAGE 检测结果

M. 蛋白质分子质量标准; 1~5. pET-32a-ORF2

在 BL21 中分别诱导 1, 2, 3, 4, 5 h 的表达产物;

6. 诱导前 pET-32a-ORF2 的表达产物

Fig. 4 SDS-PAGE analysis of pET-32a-ORF2 expressed products

M. Protein molecular weight Marker;

1~5. pET-32a-ORF2 expressed products respectively induced by 1, 2, 3, 4, 5 h; 6. pET-32a-ORF2 expressed product before induced

## 2.6 pET-32a-ORF2 表达产物的 Western blot 鉴定

Western blot 检测结果显示, ORF2 的表达产物能够识别 PCV2 多克隆抗体(图6), 具有免疫学生物活性。

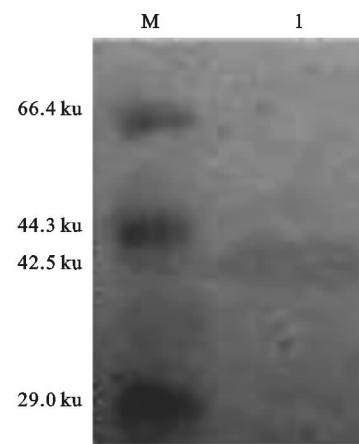


图6 重组蛋白 pET-32a-ORF2 的 Western blot 检测结果

M. 蛋白 Marker; 1. pET-32a-ORF2 蛋白印迹

Fig. 6 Western blot analysis of the recombinant protein

M. Molecular weight protein Marker;

1. pET-32a-ORF2 protein analysed by Western blot

dova 等<sup>[17]</sup>选取富含 argU、ileY、leuW 及 proL tRNA 基因的 BL21-CodonPlus (DE3)-RIPL *E. coli*, 对 PCV2 ORF2 全序列进行了表达, 获得了较高水平的蛋白表达量。从免疫检测角度分析, ORF2 中

1~123 bp 与 PCV2 主要抗原的特异性无关<sup>[10]</sup>, 因此认为不表达该区域更有利。本研究构建的重组质粒经 IPTG 诱导后得到了高效表达, 其表达量约可达菌体总蛋白的 30%, 显著高于 ORF2 全序列时的表达量<sup>[12]</sup>, 证明了本研究设计的合理性。

本研究中重组蛋白以包涵体的形式存在, 需要变性、浓缩并复性。为此, 本研究用 Ni-NTA 蛋白纯化试剂盒(QIAGEN 公司), 对目的蛋白进行了纯化、浓缩, 浓缩后的蛋白浓度可达 7 mg/mL, 该质量浓度完全能满足后续试验需要。为了恢复重组蛋白的免疫学活性, 本研究利用蛋白复性试剂盒 protein refolding kit(Novagen 公司)对其进行透析复性, Western blot 检测结果表明, 经纯化复性的重组蛋白能够特异性的结合 PCV2 多克隆抗体, 表明目的蛋白具有与 PCV2 相同的抗原性, 可用于 PCV2 ORF2 单克隆抗体及 PCV2 的 ELISA 检测方法的研究。

## [参考文献]

- [1] Lukert P, deBoer G F, Dale J L, et al. The circoviridae in virus taxonomy [C]//Murphy F A, Fauguet C M, Bishop D H L, et al. The Sixth Report of the International Committee on Taxonomy of Viruses. New York, NY: Springer, 1995: 166~168.
- [2] Allan G, Meehan B, Todd D, et al. Novel porcine circoviruses from pigs with wasting disease syndromes [J]. Vet Rec, 1998, 142(17): 467~468.
- [3] Kim J, Jung K, Chae C. Prevalence of porcine circovirus type 2 in aborted fetuses and stillborn piglets [J]. Vet Rec, 2004, 155(16): 489~492.
- [4] Shibahara T, Sato K, Ishikawa Y, et al. Porcine circovirus induces B lymphocyte depletion in pigs with wasting disease syndrome [J]. J Vet Med Sci, 2000, 62(11): 125~131.
- [5] Allan G M, Ellis J A. Porcine circoviruses: a review [J]. J Vet Diagn Invest, 2000, 12(1): 3~14.
- [6] Grierson S S, King D P, Wellenberg G J, et al. Genome sequence analysis of 10 dutch porcine circovirus type 2 (PCV2) isolates from a PMWS case-control study [J]. Res Vet Sci, 2004, 77(3): 265~268.
- [7] Segales J, Olvera A, Grau-Roma L, et al. PCV2 genotype definition and nomenclature [J]. Vet Rec, 2008, 162(26): 867~868.
- [8] Mahe D, Blanchard P, Truong C, et al. Differential recognition of ORF2 protein from type 1 and type 2 porcine circoviruses and identification of immunorelevant epitopes [J]. Journal of General Virology, 2000, 81(7): 1815~1824.
- [9] Lekcharoensuk P, Morozov I, Paul P S, et al. Pitope mapping of the major capsid protein of type 2 porcine circovirus (PCV2) by using chimeric PCV1 and PCV2 [J]. J Virol, 2004, 78(15): 8135~8145.
- [10] Liu Q, Tikoo S K, Babiuk L A. Nuclear localization of the ORF2 protein encoded by porcine circovirus type 2 [J]. Virology, 2001, 285(1): 91~99.
- [11] 商绍彬, 周继勇, 吴建祥, 等. 重组表达猪圆环病毒 2 型衣壳蛋白的抗原特性分析 [J]. 微生物学报, 2005, 45(3): 377~381. Shang S B, Zhou J Y, Wu J X, et al. Antigenic analysis of the recombinant capsid protein of porcine circovirus type 2 [J]. Acta Microbiologica Sinica, 2005, 45(3): 377~381. (in Chinese)
- [12] Liu Q, Willson P, Attoh-Poku S, et al. Bacterial expression of an immunologically reactive PCV2 ORF2 fusion protein [J]. Protein Expr Purif, 2001, 21(1): 115~120.
- [13] Blanchard P, Mahe D, Cariot R, et al. An ORF2 protein-based ELISA for porcine circovirus type 2 antibodies in post-weaning multisystemic wasting syndrome [J]. Vet Microbiol, 2003, 94(3): 183~194.
- [14] 樊惠英, 陈焕春, 佟铁铸, 等. 猪圆环病毒 2 型 ORF2 基因在昆虫细胞中的表达及其特性 [J]. 生物工程学报, 2005, 21(6): 975~978. Fan H Y, Chen H C, Tong T Z, et al. The expression of porcine circovirus type 2 ORF2 gene in insect cells and its character [J]. Chinese Journal of Biotechnology, 2005, 21(6): 975~978. (in Chinese)
- [15] Wang X, Jiang W, Jiang P, et al. Construction and immunogenicity of recombinant adenovirus expressing the capsid protein of porcine circovirus 2 (PCV2) in mice [J]. Vaccine, 2006, 24(16): 3374~3380.
- [16] 陈美玲, 陈焕春, 黄红亮, 等. 抗猪圆环病毒Ⅱ型 ORF2 蛋白单克隆抗体的制备及鉴定 [J]. 中国兽医学报, 2005, 25(6): 567~569. Chen M L, Chen H C, Huang H L, et al. Preparation and characterization of monoclonal antibodies against PCV2-ORF2 fusion protein [J]. Chinese Journal of Veterinary, 2005, 25(6): 567~569. (in Chinese)
- [17] Trundova M, Celer V. Expression of porcine circovirus 2 ORF2 gene requires codon optimized *E. coli* cells [J]. Virus Genes, 2007, 34(2): 199~204.